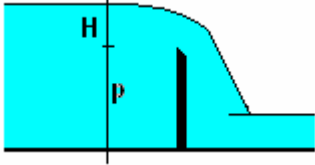
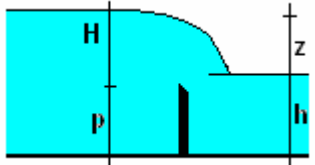
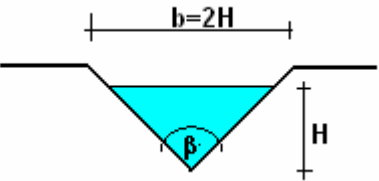
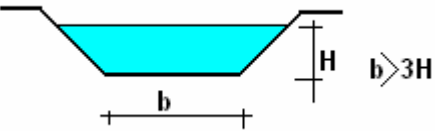
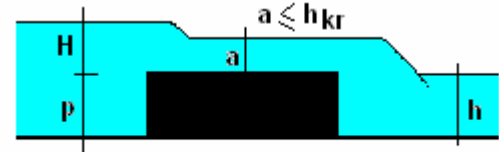
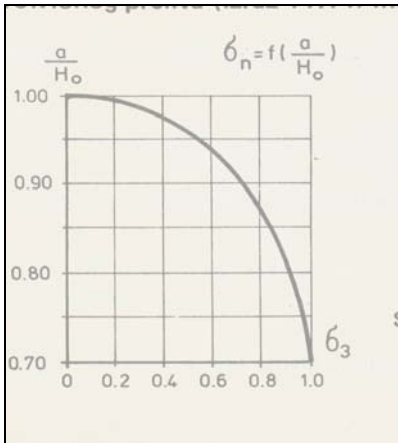
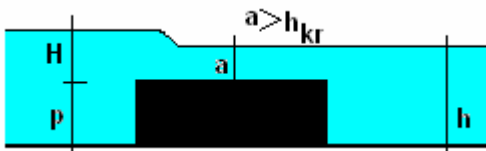


PRELJEVI

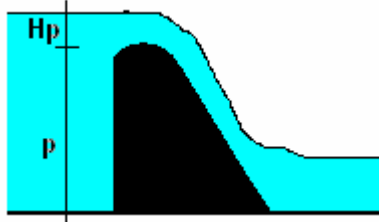
<p>OŠROBRIDNI PRELJEV-nepotopljeno prelijevanje</p> 	$Q = m_o b \sqrt{2g} H^{3/2}$ $Q = m b \sqrt{2g} H_o^{3/2}$ $m_o = \left(0,405 + \frac{0,0027}{H}\right) \left[1 + 0,55 \left(\frac{H}{H+P}\right)^2\right]$ $0,40 < m < 0,48 \quad (m=0,42)$
<p>OŠROBRIDNI PRELJEV-potopljeno prelijevanje</p>  <p>Uvjet potopljenosti: $h > p$; $z/p < 0,7$</p>	$Q = \sigma p m_o b \sqrt{2g} H^{3/2}$ $\sigma_p = 1,05 \left(1 + 0,2 \frac{H-z}{p}\right) \sqrt[3]{\frac{z}{H}}$
<p>THOMPSONOV PRELJEV –nepotopljeno prelijevanje</p> 	$Q = 1,4H^{5/2}$ $Q = 0,32\sqrt{2g}H^{5/2}$ <p>za $\beta=90^\circ$</p>
<p>TRAPEZNI (CHIPOLETTIJEV) PRELJEV-nepotopljeno prelijevanje</p> 	$Q = 1,86bH^{3/2}$ $Q = 0,42b\sqrt{2g}H^{3/2}$
<p>PRELJEV SA ŠIROKIM PRAGOM-nepotopljeno prelijevanje</p>  <p>$a \leq h_{kr}$</p> <p>v_o = dolazna brzina</p>	$Q = m b \sqrt{2g} H_o^{3/2}$ $m = \varphi \frac{a}{H_o} \sqrt{1 - \frac{a}{H_o}}$ $H_o = H + \frac{v_o^2}{2g}$ <p>$\varphi=0,85$; $m=0,32$; $a/H_o=0,59$ široki prag s oštrom ivicom</p> <p>$\varphi=0,92$; $m=0,35$; $a/H_o=0,63$ široki prag sa zaobljenom ivicom</p>
<p>PRELJEV SA ŠIROKIM PRAGOM-potopljeno prelijevanje</p>	<p>Utjecaj donje vode počinje se manifestirati nakon $a > 0,7H$</p> $Q = \varphi a b \sqrt{2g(H_o - a)}$



$$Q = \sigma p m b \sqrt{2g} H^{3/2}$$

σp = koef. potopljenosti (prema Pavlovskom)

CREAGEROV PRELJEV-nepotopljeno prelijevanje



$$Q = m b \sqrt{2g} H_o^{3/2}$$

$m=0,49$ za projektiranu visinu prelijevanja H_p

$m=f(H/H_p)$ za $H/H_p < 1$ – koef. prelijevanja se smanjuje

$m=f(H/H_p)$ za $H/H_p > 1$ – koef. prelijevanja se povećava i javlja se potlak na konturi krune preljeva

Relative koordinate Krigerovog preljeva

Tablica 11.1

$\frac{X}{H_p}$	$\frac{Y}{H_p}$	$\frac{X}{H_p}$	$\frac{Y}{H_p}$	$\frac{X}{H_p}$	$\frac{Y}{H_p}$
0,0	0,126	0,6	0,060	2,0	1,235
0,1	0,036	0,8	0,146	2,5	1,960
0,2	0,007	1,0	0,256	3,0	2,824
0,3	0,0	1,2	0,394	3,5	3,812
0,4	0,006	1,4	0,564	4,0	4,930
0,5	0,027	1,7	0,873	4,5	6,220

